

Graph knots の Dehn surgery

東大 理 上 正明

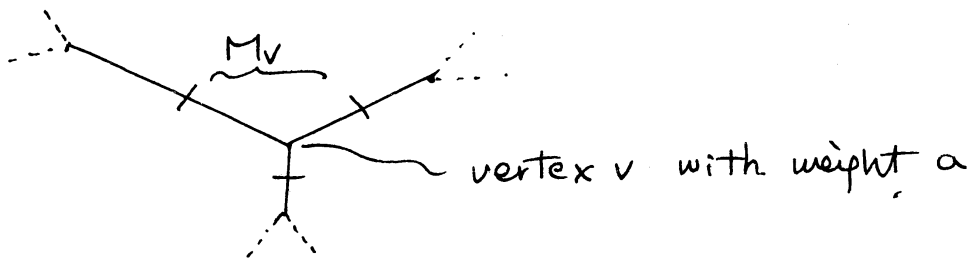
complement X が graph manifold (X, T) であるよ
うな knot を graph knot と呼ぶ。この時 $X-T$ の各 component
は punctured S^2 上の S^1 -bundle になる (cf. [3]). ので,
plumbed diagram で表わすことが出来る (§2)。そこで逆
に plumbed diagram で表わされる 3-manifold を、特に
Seifert fibered space になる場合を中心に考えることに
する。

§1. Reduced plumbed diagram

Γ : を 整数係数の weight をもつ graph (edge 上の weight
は ± 1) とする。このとき Γ には 4-manifold of
plumbing type Γ が対応する。各 vertex a の vertex
 v には euler number a の S^2 上の D^2 -bundle p_v , vertex
 v, v' を結ぶ edge e (weight of $e = \varepsilon = \pm 1$)

/

には、対応する二つの S^2 上の D^2 -bundle の (自然な向きによる) intersection number = ϵ なる plumbing が対応する。
 $M_\Gamma = \partial P_\Gamma$ とおくと、 M_Γ は自然に graph manifold になる。
 その graph structure を (M_Γ, T) とおくと、 $M_\Gamma - T$ の各 component の closure は punctured S^2 上の S^1 -bundle であるが、その boundary component 上に次のような座標 (peripheral system) を定めておく。



vertex v with weight a に対応する piece M_v は上図の部分に相当し、その構成は次の通り。

v の valency (v から出る edge の数) を r 、 B_r を r -punctured S^2 とする。 $B_r \times S^1$ の i 番目の boundary component $\partial_i B_r \times S^1$ に $q_i = \partial_i B_r \times *$ 、 $h_i = * \times S^1$ なる 2 つの loop によって座標を入れる。一方 B_r の内点の近傍 D_0^2 をとり、 $\partial D_0^2 \times S^1$ の座標を、 $q_0 = \partial D_0^2 \times *$ 、 h_0 によって定める。(但し、 q_i に、 $\sum_{i=0}^r q_i \sim 0$ in B_r -int B_0 なるように向

きを入れ子。その他の向きはすべて自然な向きとする。

このとき、

$M_V \cong (\text{Br-int } D_0^2) \times S^1 \not\cong D^2 \times S^1$, $f: \partial D_0^2 \times S^1 \rightarrow \partial D^2 \times S^1$
 は $\begin{pmatrix} 1 & 0 \\ a & 1 \end{pmatrix}$ で表わされる homeo. (但し、ここで $\partial D_0^2 \times S^1$ には $\{ -q_0, h \}$ によって向きを入れる。)

また、vertices V, V' が weight ε の edge e で結び合っているときは M_V と $M_{V'}$ は $\begin{pmatrix} 0 & \varepsilon \\ \varepsilon & 0 \end{pmatrix}$ での homeo $\partial_1 M_V \rightarrow \partial_1 M_{V'}$ で attach される。(ここで edge e が $M_V, M_{V'}$ のそれぞれれの1番目の boundary component に対応するとした。)

以下 boundary のある graph も考え、各 boundary は Γ の形で表わし、対応する M_Γ の boundary component には上記の通り "canonical coordinate" $\{q, h\}$ を固定しておく。

Proposition 1. 次の (i), (ii) は同値。

(i): M^3 は M - T の各 component の closure が punctured S^2 上の S^1 -bundle たる graph manifold (M, T) の構造をもつ。

(ii). ある plumbed diagram (integrally weighted graph)

Γ が存在して、 $M^3 \cong M_\Gamma$

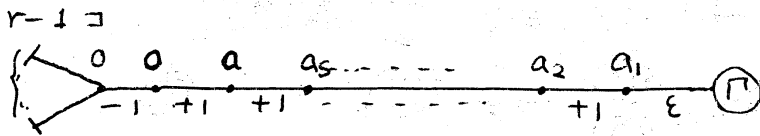
(i) (ii) \Rightarrow (i) は明らか。

(i) \Rightarrow (ii) は 次の事実による。

M_r を Γ に対応する graph manifold. (左端の boundary は ∂M_r に対応するとする。) このとき

$$M = M_r \cup_{\partial} B^r \times S^1. \quad g = \begin{pmatrix} s & u \\ t & v \end{pmatrix} : \partial_1 B^r \times S^1 \xrightarrow{\cong} \partial_1 M_r$$

(s, t, u, v は $sv - tu = 1$ なる整数) は次の graph で表わされる。



$$\begin{pmatrix} s & u \\ t & v \end{pmatrix} = \begin{pmatrix} 0 & \epsilon \\ \epsilon & 0 \end{pmatrix} \begin{pmatrix} -1 & 0 \\ -a_1 & 1 \end{pmatrix} \begin{pmatrix} 0 & 1 \\ 1 & 0 \end{pmatrix} \begin{pmatrix} -1 & 0 \\ -a_2 & 1 \end{pmatrix} \cdots \begin{pmatrix} -1 & 0 \\ -a_s & 1 \end{pmatrix} \begin{pmatrix} 0 & 1 \\ 1 & 0 \end{pmatrix} \begin{pmatrix} 1 & 0 \\ a_1 & 1 \end{pmatrix}$$

$$u/v = a_1 - 1/a_2 - 1/\cdots - 1/a_s = [a_1, a_2, \dots, a_s].$$

$$\epsilon = \pm 1.$$

(但し $B^r \times S^1$ が M_r の一部に組みこまれている場合は cycle を含む graph として上と同様にかける。)

M_r は Γ の vertex の weight が有理数でも定義される。

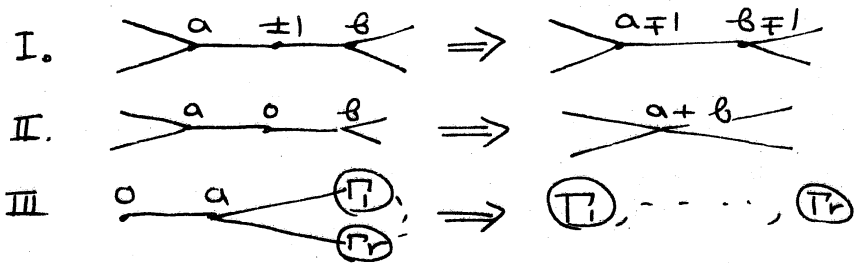
よく知られておる様に,

$$\Gamma \xrightarrow{P/g} \Gamma = \begin{pmatrix} a_1 & a_2 & \cdots & a_n \end{pmatrix}$$

$$P/g = [a_1, a_2, \dots, a_s]$$

そこで上記の case のみ 簡単の為 有理数の weight で表わすことにする。また特に断わりない限り graph は tree とする。(この時は edge の weight によらない。)

定義. (integrally weighted) graph Γ が reduced とは. 次の3つの reduction process がこれ以上適用できない graph をいふ。



上記の I ~ III は対応する M_Γ の homeo type をおこなう。

Theorem 1. Γ を ^{connected} reduced weighted tree とする。

このとき次の2つは同値。

(i). $M_\Gamma \approx$ Seifert manifold of type \mathcal{O}_1 .

(即ち. orientable Seifert manifold with an orientable orbit space.)

(ii). Γ の multiple vertex (即ち valency ≥ 3 の vertex) の数は高々 1.

⊙ (ii) \Rightarrow (i) は明ら。 (Γ reduced であることに注意)。 (i) \Rightarrow (ii) は次の Lemma から従う。

Lemma, Γ ^{connected} reduced weighted tree とする。

もし、 Γ の multiple vertex の数 ≥ 2 ならば、 M_Γ は incompressible torus をもち、 $\pi_1 M_\Gamma$ は rank 2 の free abelian group を proper subgroup にもち、さらに $\pi_1 M_\Gamma$ は centerless。

Lemma の証明は次のように M_Γ に対する初等的考察を積み重ねて行なわれる。

1° Γ : connected reduced graph, して $\exists M_\Gamma \neq \emptyset$ とする。
このとき、 M_Γ は irreducible。

2° Γ : 1° と同じ。 さらに、 $M_\Gamma \cong B^2 \times S^1$ とする。
このとき、 Γ は linear (即ち multiple vertex なし)。

3° Γ : 1° と同じ。 このとき、 M_Γ の各 boundary component は incompressible にあるか。 又は M_Γ は solid torus になる。

1°, 2° はともに Γ の multiple vertex の数に関する induction で示される。 multiple vertex の数 ≤ 1 のとき

は. Seifert manifold with boundary ∂M irreducible である
 こと, fibered solid torus の exceptional fiber $\pi^{-1}(a)$ が 1 を
 持つことから従う. 3° は $1^\circ, 2^\circ$ の Corollary.

同時に次のこともわかる。

4° Γ : (not necessarily reduced) connected graph
 とし. M_Γ ∂M not irreducible ならば次のいずれかが成り立つ。

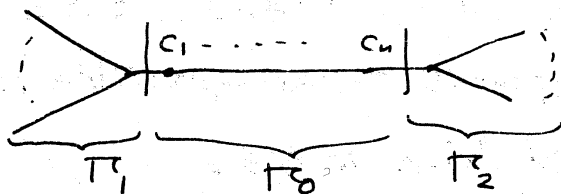
1) M_Γ は non-prime であり, Γ は disconnected graph に
 reduce できる。

2) $M_\Gamma = S^2 \times S^1$ であり Γ は \cdot に reduce できる。

(4° は $\partial M_\Gamma = \emptyset$ であり $\partial M_\Gamma \neq \emptyset$ である)

Lemma の証明の outline. # multiple vertices of
 $\Gamma = 2$ のときを示す. (一般の場合は inductive に示される。)

Γ を次のように分割。



このとき. $M_{\Gamma_1}, M_{\Gamma_2}$ は Seifert manifold with
 boundary. ∂M_{Γ_i} の canonical coordinate を $\{g_i, h_i\}$ と
 する. ($i=1, 2$). $M_{\Gamma_0} \approx T^2 \times I$

$1^{\circ} \sim 3^{\circ}$ により. (T_1, T_2 に multiple vertex があつたので)

$\pi_1(\partial M_j) \rightarrow \pi_1(M_j)$ は injective. $(j=1,2)$ π_1 も not onto であることが容易に示される。このとき、 $\pi_1 M_j \cong \pi_1 M_1 *_{\mathbb{Z}^2} \pi_1 M_2$..

ここで amalgamated subgroup \mathbb{Z}^2 は $M_0 \cong T \times I$ に対応する homeo. $\varphi: \partial M_1 \xrightarrow{\cong} \partial M_2$ と上記の inclusion から引き起こされる写像により amalgamate される。

一方 combinatorial group theory の初等的事実により、

$$\text{center}(\pi_1 M_j) \cong \text{center} \pi_1 M_1 \cap \text{center} \pi_1 M_2 \cap \mathbb{Z}^2,$$

(ここで $\mathbb{Z}^2, \pi_1 M_2$ は自然に $\pi_1 M_1$ の部分群とみなす.)

$$\text{center}(\pi_1 M_j) = \langle R_j \rangle \cong \mathbb{Z} \quad (j=1,2) \quad \text{だから} \quad \text{center} \pi_1 M_j$$

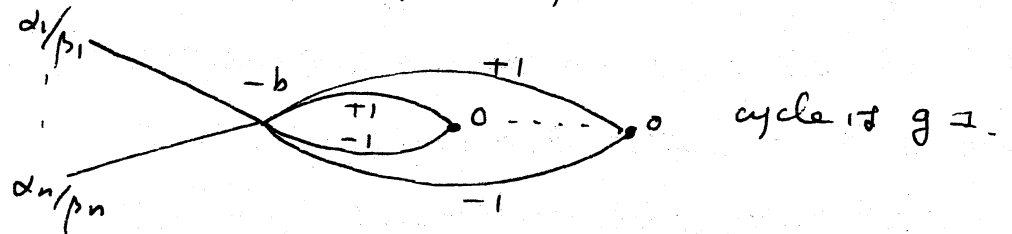
≠ φ ならば φ は R_1 を $\pm R_2$ に写さねばならない。この時容易にわかるように、 $[c_1, \dots, c_n] = 0$ 。このとき T_0 の部分 I, II により reduce されるはずである。

Remark.1 M_j が lens space ($S^2 \times S^1, S^3$ を含む)

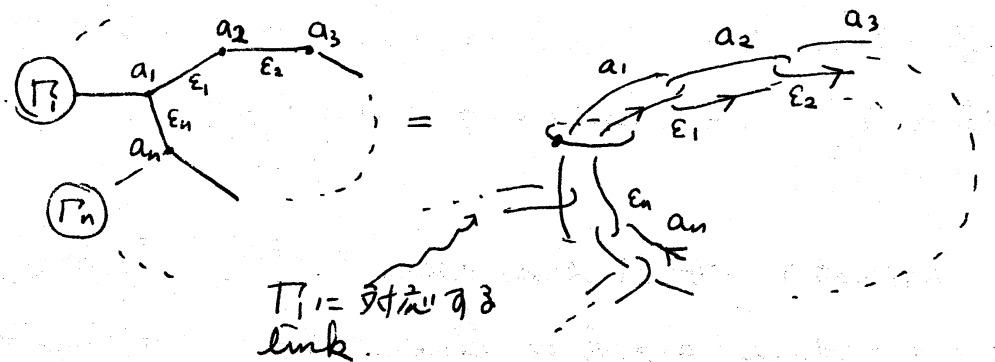
のとき reduced graph が linear なることは、von Randow Wagnreich Scharf [5] により考察されている。但、この方法は $\pi_1 M_j$ が solvable なる Γ を決めるもので、上記の場合以外の Seifert manifold には適用できない。上記のことは

Lemma から自然に別証明される。

Remark. 2. M_Γ は Seifert of type \mathcal{O}_1 のとき、
 この type は orbit surface の genus = 0 のものに限る。
 しかし cycle をもつ graph の場合はこの限りではない。例
 えば $\{b, (\alpha_1, g), (\alpha_1, p_1), \dots, (\alpha_n, p_n)\}$ なる Seifert
 manifold は次の graph でかける。



この様な cycle をもつ graph は次の process で framed
 link に書き直すことが出来る。



ϵ_i は、右図では linking number を表わす。

この observation により次の proposition が示される。

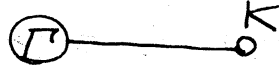
Proposition 2. Borromean rings 上の各 component 上 $r, s, t \in \mathbb{Q}$ で Dehn surgery して得られる manifold を $B(r, s, t)$ とかく。このとき $B(0, s, t)$ は graph manifold, $B(0, 0, t)$ は Seifert manifold, τ orbit space $\approx T^2$, exceptional fiber は高々 1 本,

$$(*) \quad B(0, s, t) = \begin{array}{c} \text{---} s \text{---} \\ \text{---} +1 \text{---} \\ \text{---} t \text{---} \\ \text{---} -1 \text{---} \end{array}$$

M_Γ が Seifert manifold of type n_2 (= orientable Seifert manifold with an nonorientable orbit space) の構造をもつ場合の reduced tree T' も決定される。(weight は限らずしも一意的ではない)。これは Waldhausen の定理 [6] による。即ち M_Γ の自然な graph structure と Seifert of type n_2 の自然な graph structure に "Waldhausen の意味の" reduction process を適用して structure を比較する。若干の例外的 case は Theorem 1 によつて Γ は決定される。(詳細は略す)。

§2. graph knot の representation

Proposition 1 により graph knot $K \subset S^3$ は次のように plumbed diagram τ がある。(cf. [3])



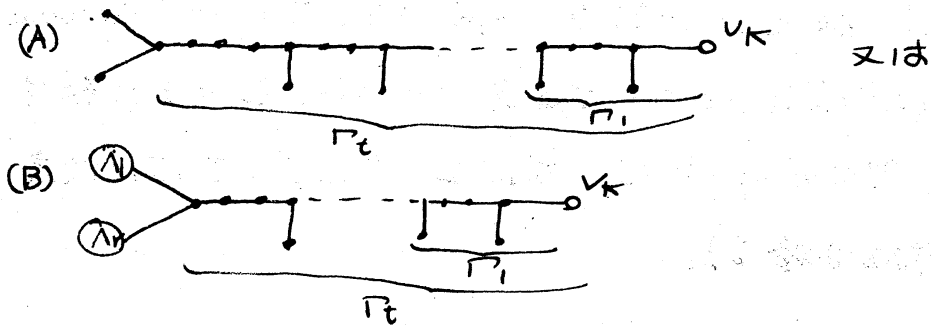
(i) Γ は tree

(ii) $M_\Gamma \cong S^3$

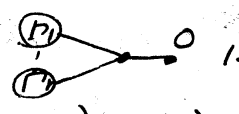
Γ は tree である。 Γ の edge の weight には ± 1 がある。
 \rightarrow K の orientation は、 Γ と v_K を結ぶ edge に weight ± 1 を与えることにより決まる。

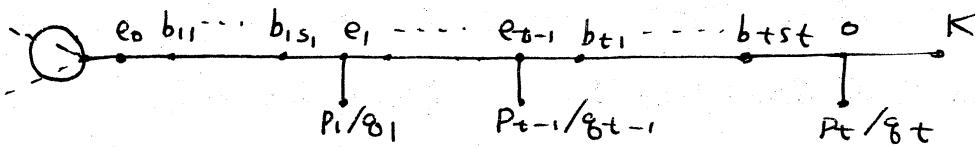
Proposition 3. Γ connected graph. $M_\Gamma \cong S^3$ ならば Γ の multiple vertex に対して reduce されない枝の数は高々 2 個。(cf. [3]) linear な

これを使って $\Gamma \rightarrow v_K$ は次の様に reduce される。



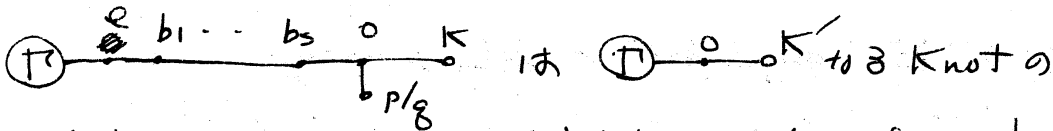
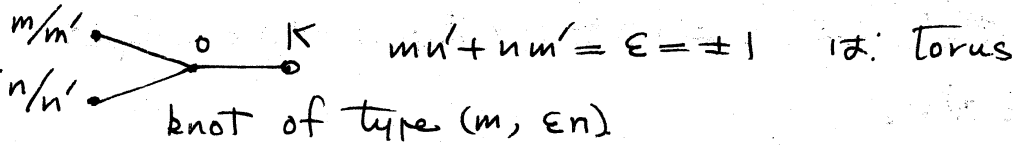
(A), (B) とともに Γ_2 は v_K を無視すれば linear graph に reduced. (A) の場合 v_K を無視すれば Γ_1 は \rightarrow

に reduce する。(B) の場合は  に reduce する。
 かつ特に $M_{\mathbb{R}^2} \cong S^3$ (reduction III)。さらに適当な graph
 の変形 (Kirby-Rolfsen twist に相当する) で weight を
 変換すると。(A), (B) とともに



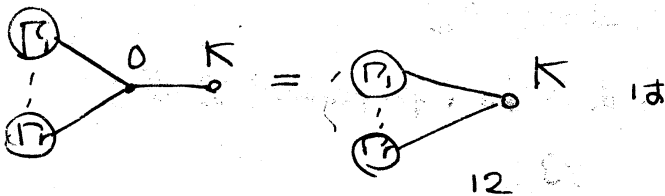
$$[b_{k1}, \dots, b_{ks_k}, 0, p_r/q_r] = 1/e_{r-1} \quad (\forall r)$$

となる。次のことに注意する。(cf. [1])



winding number = p . linking number = $\delta x + p\psi$.
 の cable knot を表わす。(但し $(b_s, \dots, b_1) = x/x'$,

$xq + px' = \delta = \pm 1$. ψ は K の真の longitude と x の
 の longitude との linking number.) 勝手な cable P_1 の
 形に替けることは容易に示される。



knots $\bigoplus_i K_i$ の connected sum.

最後の表示は一般に edges の weight (即ち K_i の orientation) によって異なるが、次の事から、^{これは} 不要であることがわかる。

次の事が知られている。(cf. [2])

*: graph knot は torus knots ~~を~~ ^{から出発して} cabling, connected sum を有限回くり返すことにより、与えられる。

*は上記の様に plumbing から出発して構成的に示すこともできる。特に induction はより、graph knot は invertible. 従って上の3番目の表示は edge の weight によらない。

§3. graph knot の Dehn surgery.

graph knot K を §2 のような plumbed diagram で表わし、(1つの表示を fix). K に対して適当な有理数 p/q を与えれば、 K の Dehn surgery によって得られる 3-manifold になる。(みかけの係数と真の surgery coefficient には §2 の ψ に対応してずれがある。 ψ は §2 における standard の表示に対しては容易に計算される)

$\bigoplus_i K_i \xrightarrow{p/q} \Gamma(p/q)$ と表わす。(graph knot $\bigoplus_i K_i$)

Theorem 1 において $\Gamma(p/q)$ の reduction process を調べればいい。Seifert manifold (of type α_1) になる p, q が決定される。定性的には次の事がいえる。

Theorem 2. graph knot K 上の Dehn surgery で Seifert manifold がえられるときは、 K は高々 2 回の iterated cable of a torus knot. 又は 2 つの torus knot の connected sum.

より詳しく knot type, surgery coefficient, えられる Seifert manifold の type も決定可能。C. Gordon [2] により異なる方法で似た結果が得られている。iterated torus knot については簡単な計算で [2] と同じ結果がえられる。(詳しい値は [2] に譲る。) 一方、それ以外の graph knot については、Dehn surgery が ∞ と incompressible torus をもつ graph manifold が得られること [2] で示されているが、この中で Seifert manifold になる case が唯一種類のみ存在すること [2] を使うことでの方法でわかる。それは、2 つの torus knot の connected sum の case で、得られるのは丁度 4 つの exceptional fiber をもつ Seifert manifold である。この graph は次の通り。

$$\begin{array}{c} \frac{m}{m'} \\ \frac{n}{n'} \end{array} \begin{array}{c} \circ \\ \circ \end{array} \begin{array}{c} \circ \\ \circ \end{array} \begin{array}{c} \frac{m}{m'} \\ \frac{n}{n'} \end{array} = T(m, \epsilon n) \# T(\tilde{m}, \tilde{\epsilon} \tilde{n})$$

得られる Seifert manifold は

$$\begin{array}{c} \frac{m}{m'} \\ \frac{n}{n'} \end{array} \begin{array}{c} \circ \\ \circ \end{array} \begin{array}{c} \circ \\ \circ \end{array} \begin{array}{c} \frac{m}{m'} \\ \frac{n}{n'} \end{array} = \begin{array}{c} \frac{m}{m'} \\ \frac{n}{n'} \end{array} \begin{array}{c} \circ \\ \circ \end{array} \begin{array}{c} \frac{m}{m'} \\ \frac{n}{n'} \end{array}$$

Remark. Theorem 2 は Seifert manifold of type n_2 についても有効。

Remark. Fintushel と Stern による iterated torus knot の Dehn surgery で lens space が与えられる場合は自然に上記の結果に合致する。(cf. (11)) ここでの方法は (1) の方法の拡張であり、計算方法は基本的に同一である。(本質的には Theorem 1 が異なるところである。)

また同様の計算と Lemma の証明中考察した事実により、次の定理も導かれる。

Theorem 3. graph knot 上の Dehn surgery で non-prime manifold $M_1 \# \dots \# M_r$ (M_i は $\neq S^3$ の prime component) が得られるとする。このとき、 $r \leq 2$ 。さらに少なくとも一つの component は lens space。

References

- [1] R. Fintushel and R. J. Stern; Constructing lens spaces by surgery on knots, Math. Z 175 (1980) 33-51.
- [2] C. McA. Gordon. Dehn surgery and satellite knots preprint.
- [3] M. Kato. A note on graph links. (数理研究 研究録)
- [4] L. Moser. Elementary surgery along a torus knot. Pacific. J. Math. 38 (1971) 737-745
- [5] A. Scharf. Faserungen von Graphenmannigfaltigkeiten. Bonn. Math. Schriften, No. 93. (1974)
- [6] F. Waldhausen, Eine Klasse, von 3-dimensionalen Mannigfaltigkeiten I, II, Inv. Math. 3 (1967) 308-333
4 (1967) 87-117.
- [7] M. Ue. Some remarks on Dehn surgery along graph knots. preprint.